

01;07;09

Качественный анализ поведения динамической системы Лоренца на основе геометрических представлений

© В.В. Афанасьев, Ю.Е. Польский, В.С. Чернявский

Казанский государственный технический университет им. А.Н. Туполева

Поступило в Редакцию 9 января 1998 г.

Приводится качественный анализ поведения динамической системы Лоренца на основе геометрических представлений. Рассмотренный аналитический подход позволяет анализировать поведение широкого класса систем с динамическим хаосом.

В настоящее время основным способом исследования сложных нелинейных динамических систем (ДС) со странными аттракторами (СА) является математическое моделирование на ЭВМ. Представляет интерес поиск методов, которые позволяли бы делать качественные выводы о характере поведения динамической системы без ее решения, заранее прогнозировать момент возникновения стохастизации в системе. Одним из таких методов является метод расщепления сепаратрис Мельникова, однако он применим к ограниченному классу ДС [1]. Нами предлагается аналитический подход, который может быть использован для анализа поведения широкого класса систем с динамическим хаосом.

Предлагаемый подход основан на представлении системы из n дифференциальных уравнений, описывающих нелинейную динамическую систему, в виде дифференциального уравнения

$$\Phi_1'(x, a) = -\Phi_2(x, a), \quad (1)$$

где $x = (x_1, x_2, \dots, x_n)$ — вектор фазовых переменных системы, $a = (a_1, a_2, \dots, a_N)$ — вектор параметров системы. Функции $\Phi_{1,2}$ определяют собой поверхности $\Phi_1 = A$ и $\Phi_2 = B$ в фазовом пространстве системы. По знаку B можно судить о характере движения изображающей точки ДС относительно семейства поверхностей $\Phi_1 = \text{const}$ (в направлении, соответствующем увеличению или уменьшению A). Для одной и той же ДС возможно получение набора различных функций $\Phi_{1,2}$,

что позволяет с помощью надлежащего выбора $\Phi_{1,2}$ судить о характере движения траектории в фазовом пространстве системы в целом.

Проиллюстрируем предлагаемый подход для исследования системы Лоренца:

$$\dot{x} = -\sigma x + \sigma y; \quad \dot{y} = -y + rx - xz; \quad \dot{z} = -bz + xy, \quad (2)$$

где r, σ, b — параметры системы. Уравнение (1) для системы (2) возможно получить в виде суммы линейной комбинации уравнений (2) с линейной комбинацией уравнений (2), умноженных соответственно на x, y, z , как это сделано, например, в [2, с. 92]:

$$\begin{aligned} & \{ (k_1 x^2 + k_2 y^2 + k_3 z^2) / 2 + k_4 x + k_5 y + k_6 z + k_7 \}' \\ & = - \{ \sigma k_1 x^2 + k_2 y^2 + b k_3 z^2 - x y z (k_3 - k_2) - x y (\sigma k_1 + r k_2 + k_6) \\ & + k_5 x z + x (\sigma k_4 - k_5 r) + y (k_5 - \sigma k_4) + k_6 b z \}, \end{aligned} \quad (3)$$

где $k_1, k_2, k_3, k_4, k_5, k_6, k_7$ — постоянные коэффициенты. В зависимости от нахождения изображающей точки внутри или за пределами поверхности

$$\begin{aligned} & \sigma k_1 x^2 + k_2 y^2 + b k_3 z^2 - x y z (k_3 - k_2) - x y (\sigma k_1 + r k_2 + k_6) \\ & + k_5 x z + x (\sigma k_4 - k_5 r) + y (k_5 - \sigma k_4) + k_6 b z = B \end{aligned}$$

(где B — некоторая постоянная, определяемая текущими значениями x, y, z) характер движения изображающей точки в фазовом пространстве относительно семейства поверхностей

$$(k_1 x^2 + k_2 y^2 + k_3 z^2) / 2 + k_4 x + k_5 y + k_6 z + k_7 = A = \text{const}$$

меняется качественным образом: движение в направлении, соответствующем увеличению A ($B < 0$) или уменьшению A ($B > 0$). Сечения этих поверхностей плоскостью, перпендикулярной оси OX , в проекции на плоскость YOZ имеют вид кривых второго порядка. При выборе коэффициентов $k_1 = 1/\sigma, k_2 = k_3 = 1/r, k_4 = k_5 = k_7 = 0, k_6 = -2$ уравнение (1) для системы Лоренца (2) упрощается и принимает вид

$$\begin{aligned} & (x^2/\sigma + y^2/r + (z - 2r)^2/r)' \\ & = -2br (x^2/br + y^2/br^2 + (z - r)^2/r^2 - 1). \end{aligned} \quad (4)$$

Уравнение (4) справедливо как для системы Лоренца (2), так и для других видов нелинейных ДС, которые могут быть сведены к уравнению (1) при данном выборе $\Phi_{1,2}$, но с другим набором коэффициентов k_1, k_2, \dots, k_7 .

Из теории дифференциальных уравнений известно, что соотношение вида (4) определяет область асимптотического движения фазовой траектории ДС [3]. Функция Φ_1 в (4) представляет собой обобщенное расстояние ρ от изображающей точки с текущими координатами (x, y, z) до точки с координатами $(0,0,2r)$. Функция $\Phi_2 = 0$ в (4) представляет собой эллипсоид. Внутри эллипсоида $\Phi_2 < 0$, ρ увеличивается; вне — $\Phi_2 > 0$, ρ уменьшается. Это означает, что при любых начальных условиях, асимптотическое движение фазовой траектории, в том числе при возникновении режима СА, будет происходить в ограниченной области фазового пространства. Оценим границы этой области. Из (4) максимальное значение $\rho_{\max} = b^2 r^2 / (b - 1)$. При $b > 1$ область представляет собой эллипсоид вида

$$x^2 / \left(\sqrt{\rho_{\max} \sigma / r} \right)^2 + y^2 / (\sqrt{\rho_{\max}})^2 + (z - 2r)^2 / (\sqrt{\rho_{\max}})^2 = 1 \quad (5)$$

с центром в точке с координатами $(0, 0, 2r)$. Из (5) следует, что при возникновении СА в системе Лоренца величины значений текущих фазовых координат находятся в границах, определяемых неравенствами:

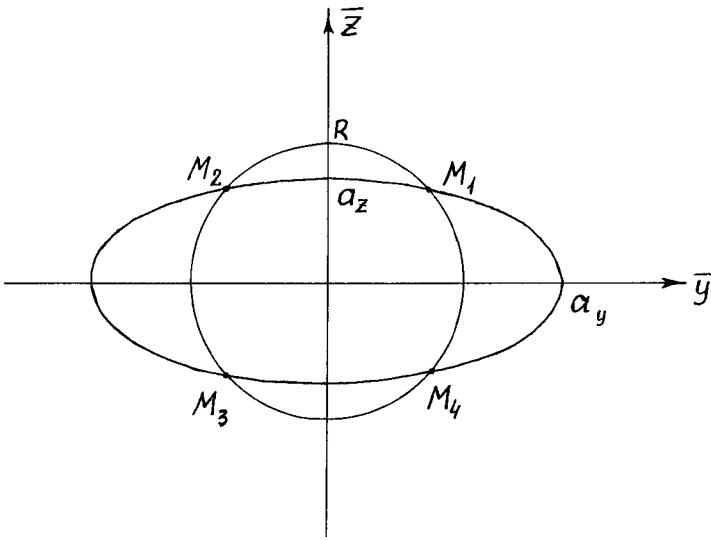
$$\begin{aligned} -b\sqrt{\sigma r / (b - 1)} &\leq x \leq b\sqrt{\sigma r / (b - 1)}, \\ -br\sqrt{1 / (b - 1)} &\leq y \leq br\sqrt{1 / (b - 1)}, \\ 2r - br\sqrt{1 / (b - 1)} &\leq z \leq 2r + br\sqrt{1 / (b - 1)}. \end{aligned} \quad (6)$$

При выборе коэффициентов: $k_1 = r/\sigma$, $k_2 = k_3 = -1$, $k_4 = k_5 = k_6 = k_7 = 0$ $\Phi_{1,2}$ принимают следующий вид:

$$\Phi_1(x, y, z) = x^2 r / \sigma - y^2 - z^2, \quad (7)$$

$$\Phi_2(x, y, z) = x^2 r - y^2 - bz^2. \quad (8)$$

Изменение знака $\Phi_{1,2}$, определяемых текущими координатами x, y, z , приводит к изменению вида поверхностей $\Phi_{1,2}$. Так, при $\Phi_{1,2} > 0$ поверхности имеют вид двухполостных гиперboloидов, при $\Phi_{1,2} = 0$ — конусов, а при $\Phi_{1,2} < 0$ — однополостных гиперboloидов. Для текущих



координат x, y, z поверхностям постоянства $\Phi_1 = A$ и $\Phi_2 = B$ в плоскости $x = \bar{x} = \text{const}$ соответствуют сечения:

$$(\bar{y}^2 + \bar{z}^2)/(\bar{x}^2 r/\sigma - A) = 1 \text{ — окружность,}$$

$$\bar{y}^2/(\bar{x}^2 r - B) + \bar{z}^2/(\bar{x}^2 r/b - B/b) = 1 \text{ — эллипс.}$$

При изменении текущих координат x, y, z изменяются A и B и соответственно изменяются размеры окружности и эллипса, а также их взаимное расположение. Для $\bar{x} = x$ получим окружность радиусом $R|_{\bar{x}=x} = \sqrt{y^2 + z^2}$ и эллипс с полуосями $a_y|_{\bar{x}=x} = \sqrt{y^2 + bz^2}$ и $a_z|_{\bar{x}=x} = \sqrt{y^2/b + z^2}$ (см. рисунок). Точка M_i ($i = \overline{1, 4}$) соответствует текущему значению фазовых координат x, y, z . Так как значение фазовой координаты z для системы Лоренца в силу неравенств (6) положительно, то положению изображающей точки системы соответствуют точки M_1 и M_2 . При $a_z = R$ ($y = 0$) точки M_1 и M_2 совпадают. Начиная с момента ($y = 0$), обязательно происходит в течение времени $\Delta t \leq T$ ($T = 4\pi/\sqrt{8\sigma(r-1) - (\sigma+r)^2}$ — период колебания системы, определяемый в соответствии с [4]) переход фазовой траектории из области одного состояния неустойчивого равновесия в область другого. Таким

образом, предложенный подход позволяет аналитически определить начало качественных изменений в поведении ДС, а именно: показывает, что при переходе между областями состояний неустойчивого равновесия сначала происходит смена знака y координаты y , а затем — x . Такая последовательность смены знака координат x и y подтверждается результатами экспериментов [2].

Возможность определения момента качественных изменений в поведении системы позволяет найти конкретные временные интервалы эффективной подачи внешних управляющих воздействий на параметры ДС Лоренца [4], обеспечивающих требуемое ее поведение.

Представление (1) возможно использовать для анализа поведения и других видов нелинейных ДС со СА (система Ресслера, система Рюэля–Таккенса и др.), что однако, выходит за рамки данной статьи.

Выводы:

1. Дифференциальное представление (1) является эффективным методом исследования поведения ДС со СА.
2. Анализ функций $\Phi_{1,2}$ (4) позволяет определить ограниченный объем фазового пространства, в котором происходит асимптотическое движение фазовой траектории ДС Лоренца.
3. Анализ сечений поверхностей $\Phi_{1,2}$ (7), (8) системы Лоренца позволяет получить аналитическое обоснование условия ($y = 0$) возникновения перехода между областями состояний неустойчивого равновесия и оценить границы временных интервалов таких переходов в ДС.

Список литературы

- [1] *Афанасьев В.В., Польский Ю.Е., Чернявский В.С.* // Письма в ЖТФ. 1997. Т. 23. В. 23. С. 40–45.
- [2] *Странные аттракторы* / Под ред. Я.Г. Синай, Л.П. Шильникова. М.: Мир, 1988.
- [3] *Немыцкий В.В., Степанов В.В.* Качественная теория дифференциальных уравнений. М., 1949.
- [4] *Афанасьев В.В., Польский Ю.Е.* // Письма в ЖТФ. 1989. Т. 15. В. 18. С. 86–89.